# 金属板与介质板之间的 Casimir 效应 \*

刘中柱 邵成刚 罗 俊 (华中理工大学物理系 武汉 430074)

摘要 利用 1+1 维有限势垒模型计算了金属板与介质板之间的 Casimir 力. 它由直接收敛的级数给出而不需采用重整化或截断函数方法. 计算结果表明, 金属板与介质板之间的 Casimir 效应除了与介质的势垒高度, 厚度以及金属板与介质板的间隙 a 有关外, 还要受实验容器尺度的影响. 当间隙 a 远小于容器尺度时 Casimir 力正比于  $a^{-1}$ , 当 a 较大时正比于  $a^{-2}$ . 这一结果对于非理想导体之间 Casimir 效应的实验检验具有重要指导意义.

#### 关键词 Casimir 效应 重整化 特殊计算

50 年前,Casimir 预言在理想导体平板之间存在吸引力,即 Casimir 力[1]. 本质上,这种力是涨落引起的物体之间的相互作用力。由于涨落是普遍存在的统计现象,因此 Casimir 力在物理学中广泛出现。很多作者对各种情况下的 Casimir 力进行了计算[1~8]。这些计算大致采用两种方法,一种为有限边界的量子场论,一种为涨落理论或其等效理论。目前,实验已经定性地认定了 Casimir 力的存在[4]. 而定量上比较可靠的实验尚只有一个,即由扭秤实验测量导体平板之间的 Casimir 力[9]. 因此继续进行精确的实验以认定 Casimir 力的各种性质是很有必要的。而理论研究应提供一些更适合于由实验进行验证的结果。

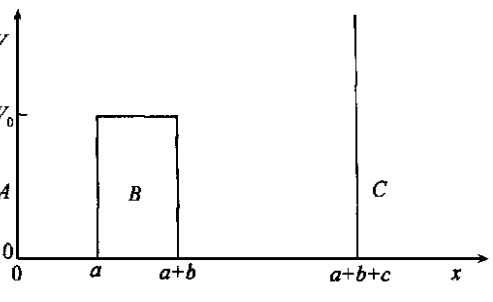
在量子场论中,Casimir 效应可按量子场与外场的相互作用去处理,其精确的计算只有对具有对称性的理想导体才能完成,这相当于用边界条件代替了外场。对于非理想导体或介质,可用有限势垒模型作近似的处理  $^{[45]}$ ,也可通过引入电介质对电磁波的反射系数和透射系数来进行讨论  $^{[10^{-12}]}$ . 但迄今为止,非理想导体或介质平行平板之间的 Casimir 效应还没有得到实验的精确验证。由于电磁波对介质具有穿透性,因此,在测量非理想导体或介质之间的 Casimir 效应时,必须考虑金属真空容器的器壁对实验结果的影响。为简化起见,本文采用如图 1 所示的 1+1 维模型计算——金属板 A (理想导体)与一介质板 B 之间的 Casimir 力,其中容器器壁的影响用另一金属板 C 表示。理论分析表明,在这种模型中 Casimir 力的表达式是直接收敛的,而不必采用重整化或截断函数的方法。这里,我们将全空间考虑为 a+b+c,且通常有  $a+b+c\gg a$ .

介质板间的 Casimir 力在 1+1 维模型中可通过反射和透射系数的引入来讨论. 但由于这

<sup>1999-01-26</sup> 收稿, 1999-05-04 收修改稿

<sup>\*</sup>国家杰出青年科学基金部分资助(批准号: 19425008)和塑性成形模拟及模具技术国家重点实验室开放课题资助项目

两个系数的值都与频率有较复杂的关系,所得结果, 进行实验检验比较困难. 利用介质的有限势垒模 型,我们可以研究势垒的高度、宽度以及容器尺度火 对 Casimir 力的影响. 理论分析与数值计算表明. 由于受容器尺度的影响, 金属板 与介质板 之间的 & Casimir 力对于距离 a 有较复杂的依赖关系. 在较 大距离时 Casimir 力  $F_c \propto a^{-2}$ , 对较小距离  $F_c \propto 0$ 



 $a^{-1}$ . 而且在较小距离且势垒函数  $V_0(x)$ 取为 图1 金属板与介质板之间 Casimir 效应的势垒  $\lambda \delta(x)$ 时( $\lambda$  为  $V_0$  与 b 之积), 介质与金属平板间

在标度变换 $(\lambda,a)$  o  $(\lambda/t,at)$  下有不变性.本文  $^{b \pm a}$   $^{b \pm b}$   $^{b \pm b}$   $^{b \pm b}$   $^{b \pm b}$ 所有的计算均无量纲化了.

Casimir 力与两金属平板间 Casimir 力之比  $e(\lambda, a)$  其中x < 0 为金属板 A, a < x < a + b 处为介质板B.a $x \ge a + b + c$  为另一金属板 C 它代表直空容器的一壁

## 1 1+1 维模型的理论计算

处理像金属和介质这样的耗散系统的Casimir力很复杂,当考虑电磁波对介质的穿透性 时,常采用的近似办法是有限势垒 $^{[4,5]}$ . 在如图 1 所示的 1+1 维模型中,电磁场两个模的真空 涨落可以由无质量粒子的 Klein-Gordon 方程的解给出,

$$\partial_t^2 \varphi - \Delta \varphi + V(\chi) \varphi = 0. \tag{1}$$

本文采用自然单位 h=c=1. 上式中的标量势 V(x) 如图 1 所示,即

方程(1)的解可分两种情况分别给出,其正交化波函数为

$$\varphi_n^{\pm}(x, t) = \frac{1}{\sqrt{(a+b+c)\omega_n}} \exp(\pm i\omega_n t) \chi_n(x).$$

当  $\omega_n^2 = k_n^2 < V_0$  时,

$$\chi_{n}(x) = \begin{cases}
A \sin k_{n}x, & 0 < x \leq a, \\
B_{1}e^{\mu_{n}x} + B_{2}e^{-\mu_{n}x}, & a < x \leq a+b, \\
C \sin k_{n}(a+b+c-x), & a+b < x \leq a+b+c.
\end{cases} \tag{3}$$

这里  $\mu_n = \sqrt{V_0 - k_n^2}$ . 波函数的归一化由不定标量积给出,即

$$(\varphi_n^{\pm}, \varphi_m^{\pm}) = \mp \delta_m, (\varphi_n^{\pm}, \varphi_m^{\pm}) = 0,$$
 (4)

其中归一化括号定义如下:

$$(f,g) = \int (f^*i \partial_t g - g^*i \partial_t f) dx,$$

离散谱  $\omega_n = k_n$  由波函数和其导数在 x = a, a + b 的连续性确定, 即

$$\begin{vmatrix} (\mu_n \sin k_n a + k_n \cos k_n a) e^{\mu_b \over n} & \mu_n \sin k_n c - k_n \cos k_n c \\ (\mu_n \sin k_n a - k_n \cos k_n a) e^{-\mu_b b} & \mu_n \sin k_n c + k_n \cos k_n c \end{vmatrix} = 0.$$
 (5)

同样可确定系数 A,  $B_1$ ,  $B_2$  和 C 的关系.

$$B_1 = \frac{1}{2} A \left[ \sin k_n a + \frac{k_n}{\mu_n} \cos k_n a \right] e^{-\mu_n b}, \tag{6}$$

$$B_2 = \frac{1}{2} A \left[ \sin k_n a - \frac{k_n}{\mu_n} \cos k_n a \right] e^{\frac{\mu}{n} b}, \tag{7}$$

$$C^{2} = \frac{(\mu_{n}\sin k_{n}a)^{2} - (k_{n}\cos k_{n}a)^{2}}{(\mu_{n}\sin k_{n}c)^{2} - (k_{n}\cos k_{n}c)^{2}}A^{2}.$$
 (8)

再利用归一化条件可得

$$\frac{1}{a+b+c} \left[ A^{2} \left( a - \frac{\sin 2k_{n}a}{2k_{n}} \right) + C^{2} \left( c - \frac{\sin 2k_{n}c}{2k_{n}} \right) + A^{2} \left[ \sin^{2}k_{n}a - \left( \frac{k_{n}}{\mu_{n}} \cos k_{n}a \right)^{2} \right] b \right] + \frac{1}{a+b+c} \left[ \frac{1}{4} A^{2} \left( \sin k_{n}a - \frac{k_{n}}{\mu_{n}} \cos k_{n}a \right)^{2} \frac{1 - e^{-2\mu_{n}b}}{\mu_{n}} + \frac{1}{4} A^{2} \left( \sin k_{n}a + \frac{k_{n}}{\mu_{n}} \cos k_{n}a \right)^{2} \frac{e^{2\mu_{n}b} - 1}{\mu_{n}} \right] = 1.$$
(9)

由此可确定系数  $A_1, B_2$  和 C.

当  $k_n^2 = \omega_n^2 > V_0$  时, 则有

$$\chi_n(x) = \begin{cases} A\sin k_n x, & 0 < x \le a, \\ B_1\sin \mu_n x + B_2\cos \mu_n x, & a < x \le a+b, \\ C\sin k_n (a+b+c-x), & a+b < x \le a+b+c. \end{cases}$$

$$(10)$$

$$\overline{-V_0}$$
, 同样的方法可确定系数  $A, B_1, B_2$  和  $C, k_n = \omega_n$  满足条件

这里  $\mu_n = \sqrt{k_n^2 - V_0}$ , 同样的方法可确定系数  $A, B_1, B_2$  和 C.  $k_n = \omega_n$  满足条件

$$k_n^2 \sin \mu_n b \cos k_n (a+c) + V_0 \sin k_n a \sin k_n c \sin \mu_n b + k_n \mu_n \cos \mu_n b \sin k_n (a+c) = 0.$$
 (11)

标量场  $\varphi$  的耦合模式(3)和(10)的能量密度统一表示为

$$T_{00} = \frac{1}{2} (|\partial_t \varphi|^2 + |\partial_x \varphi|^2 + V \varphi^2). \tag{12}$$

对干模式(3)有

$$T_{00}(x) = \frac{1}{D} \begin{cases} \omega_n^2 A^2, & x \in (0, a], \\ \mu_n^2 (B_1 e^{\mu_x} - B_2 e^{-\mu_x})^2 + (\omega_n^2 + V_0) (B_1 e^{\mu_x} + B_2 e^{-\mu_x})^2, & x \in (a, a+b], \\ \omega_n^2 C^2, & x \in (a+b, a+b+c], \end{cases}$$
(13)

其中  $D=2(a+b+c)\omega_n$ . 总能量的表达式为

$$E_{n} = \int_{0}^{a+b+c} T_{00}(x) dx = \frac{1}{2} \omega_{n} \frac{1}{a+b+c} \left[ A^{2}a + C^{2}c + \frac{V_{0}}{\omega_{n}^{2}} \int (2B_{1}^{2}e^{2\mu_{n}x} + 2B_{2}^{2}e^{-2\mu_{n}x}) dx + 4B_{1}B_{2}b \right] = \frac{1}{2} \omega_{n}, (14)$$

其中  $A, B_1, B_2$  和 C 由 $(6) \sim (9)$ 式确定.对于模式(10)也有同样的结果, 即  $E_n = \omega_n/2$ .

方程(1)的任意解可用  $\varphi_n^{\pm}$  的线性组合来表示,

$$\varphi(x,t) = \sum_{n} [a_{n}^{-} \varphi_{n}^{-}(x,t) + a_{n}^{+} \varphi_{n}^{+}(x,t)], \qquad (15)$$

其系数由归一化条件(4)式确定.量子化以后,没有经过重整化的真空能量密度期望值为  $\langle 0 | T_{00} | 0 \rangle$ ,真空态的总能量为

$$E = \int_0^{a+b+c} \langle 0 | T_{00} | 0 \rangle dx = \frac{1}{2} \sum_n \omega_n.$$
 (16)

上述表达式给出的总能量是无穷大. 如果我们令  $V_0=0$  (即,  $\omega_n=m$ /(a+b+c),再通过截断函数重整化,就能得到相距为 a+b+c 的两金属间的 Casimir 能量. 但是,这里我们要计算的是势垒为  $V_0$  的介质板 B 与金属板 A 之间的 Casimir 效应及另一金属板 C 对它们的影响(图 1). 令 a+b+c=L(常数),则介质板 B 与金属板 A 之间的 Casimir 力可写为

$$F_c(V_0, a, b, c) = \frac{1}{2} \sum_{n} \frac{\partial \omega_n}{\partial a} = \frac{1}{2} \sum_{n} \frac{\partial k_n}{\partial a}, \tag{17}$$

这里, c=L-a-b, b 为常数,  $\partial k_n/\partial a$  由(5)与(11)式确定. 通过考虑(11)式中的高频部分的影响,可以证明(17)式的收敛性.

在(11)式中,对任意有限的  $V_0$ , 当  $n \rightarrow \infty$ 时,有离散谱  $k_n \rightarrow n\pi/(a+b+c)$ ,即,  $k_n = (n+\delta)\pi/(a+b+c)$ ,当  $n \rightarrow \infty$ 时  $\delta_0 \rightarrow 0$ .由(11)式可将  $\delta_0$ 写成级数的形式为

$$\delta = \frac{a+b+c}{2n\pi^2} V_0 b - (-1)^n \frac{(a+b+c)^2}{2n^2\pi^3} V_0 \cos \left( n\pi \frac{c-a}{a+b+c} \right) \sin \left( n\pi \frac{a}{a+b+c} \right) + O \circ \left( \frac{1}{n^3} \right).$$
(18)

当  $n \rightarrow \infty$ 时,将(11)式对 a 求导,再利用(18)式,则  $\partial_{k_n}/\partial_a$  也可写成级数的形式

$$\frac{\partial k_{n}}{\partial a} = (-1)^{n+1} \frac{V_{0}}{n\pi} \sin \left( n\pi \frac{c-a}{a+b+c} \right) \sin \left( n\pi \frac{b}{a+b+c} \right) + \\
(-1)^{n} \frac{V_{0}^{2}b(a+b+c)}{2n^{2}\pi^{2}} \sin \left( n\pi \frac{c-a}{a+b+c} \right) \cos \left( n\pi \frac{b}{a+b+c} \right) + O \circ \left( \frac{1}{n^{3}} \right) = \\
(-1)^{n+1} \frac{V_{0}}{2n\pi} \left[ \cos \left( n\pi \frac{c-a-b}{a+b+c} \right) - \cos \left( n\pi \frac{c-a+b}{a+b+c} \right) \right] + \\
(-1)^{n} \frac{V_{0}^{2}b(a+b+c)}{4n^{2}\pi^{2}} \left[ \sin \left( n\pi \frac{c-a-b}{a+b+c} \right) + \sin \left( n\pi \frac{c-a+b}{a+b+c} \right) + O \circ \left( \frac{1}{n^{3}} \right) \right]. (19)$$

由公式  $\sum_{n=1}^{\infty} (-1)^{n+1} \frac{\cos(nx)}{n} = \ln\left(2\cos\frac{x}{2}\right), -\pi < x < \pi$ , 易证级数  $\sum \partial_{k_n}/\partial_a$  是收敛的. 所以由 (17) 式给出的 Casimir 力是有限的, 这里并不需要引入截断函数.

## 2 数值计算

#### 2.1 F<sub>c</sub>-V<sub>0</sub> 关系

系统的 Casimir 力根据 (17) 式计算. 在实验装置中, 通常有  $a+b+c\gg a$ . 在我们的模型中, 金属板与介质板之间的 Casimir 力与理想导体平板间的 Casimir 力之比记为

$$e(V_0, a, b, c) \equiv \frac{F_C(V_0, a, b, c)}{-\pi/(24a^2)}.$$
 (20)

(21)

这里,  $-\pi/(24a^2)$ 为 1+1 维相距为 a 的两理想导体板之间的 Casimir 力. 根据(5)和(11)式, 对任意实数 t > 0, 显然有  $e(V_0, a, b, c) = e(V_0/t^2, ta, tb, tc)$ , 即函数  $e(V_0, a, b, c)$ 有标度变换的不变性, 所以可以取一个技术上的假定: a+b+c=1(真空容器的尺度为长度单位). 为了便于数值计算, 我们用

$$F_{c}(V_{0}, a, b, c) = \lim_{\substack{\Delta a \to 0 \\ M \to \infty}} \frac{1}{2} \frac{\sum_{n=1}^{M} \omega_{n} \left(V_{0}, a + \frac{\Delta a}{2}, b, c - \frac{\Delta a}{2}\right) - \sum_{n=1}^{M} \omega_{n} \left(V_{0}, a - \frac{\Delta a}{2}, b, c + \frac{\Delta a}{2}\right)}{\Delta a}$$

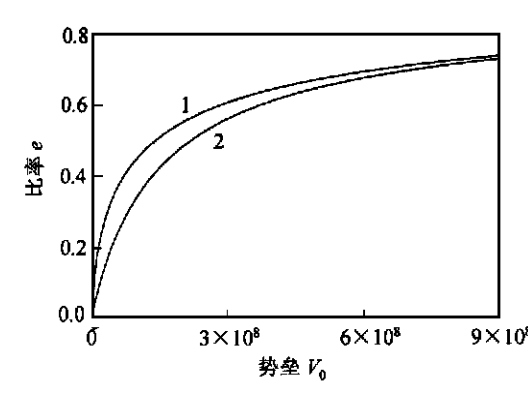


图 2 函数  $e(V_0, a, b, c)$ 随  $V_0$  趋于无穷大 而趋于 1

其中 a= 0.000 2, a+b+c= 1, 两条曲线分别对应于 b= 0.6(1)和 b= 0.000 06(2)

代替(17)式, 这里 a+b+c=L=1,  $\omega_n$  ( $V_0$ , a, b, c)由(5)与(11)式确定. M 和  $\Delta a$  的取值依  $V_0$  和相应的计算精度要求而定.

图 2 中的曲线 1 代表  $a=0.000\ 2$ , b=0.6,  $c=0.399\ 8$ 时  $e(V_0,a,b,c)$ - $V_0$  的关系. 在实际测量时,可取  $a=1\ \mu$ m,  $b=3\ m$ m, 借助辅助机械设施可使  $c=2\ m$ m, 这样用同等比例关系  $a=0.000\ 2$ ,  $9\times10^8b=0.6$ ,  $c=0.399\ 8$  来描述是合理的. 曲线 2 代表  $a=0.000\ 2$ ,  $b=0.000\ 6$ ,  $c=0.999\ 74$  时  $e(V_0,a,b,c)$ - $V_0$  的关系. 计算表明只有当介质的厚度 b 接近或小于 a 时,参量 b 对函数  $e(V_0,a,b,c)$ -a, b, c)才会有明显影响,而且当 a 取相同值时, $b=0.000\ 6$  时的曲线基本上与曲线 1 相重合. 另

外, 对于给定的 a 和 b, 对于 3+1 维模型, 同样可以定义  $e(V_0, a, b, c)$ , 它将是实验可测量的.

# 2.2 *F<sub>c</sub>-a* 关系

由于势垒的有限性, Casimir 力对距离有较复 1.0 杂的依赖关系. 如图 3 所示, 对于给定的势垒  $V_0$ ,  $e(V_0, a, b, c)$ 随 a 的减小而减小. 从图中可以看出当  $V_0 = 10^8$ , a > 0. 001 时,  $F_c \sim a^{-2}$ , 当  $a < \infty$  0.6 0.001 时,  $F_c \sim a^{-1}$ .

另外, 若将势函数取为  $\delta$ 函数, 即令  $b \rightarrow 0$ ,  $V(x) = \lambda \delta(x - a)$ ,  $x \in (0, a + c)$ , 将(20) 式中的  $e(V_0, a, b, c)$ 简记为  $e(\lambda, a)$ , 则  $e(\lambda, a)$ 随  $\lambda \rightarrow \infty$ 而趋于 1.

图 4 给出的结果指出,对于给定的  $\lambda$ ,  $e(\lambda$ , a) 随 a 的减小而减小. 这可解释为当平板靠得愈来愈近时,势垒的穿透性增强了. 仔细的分析

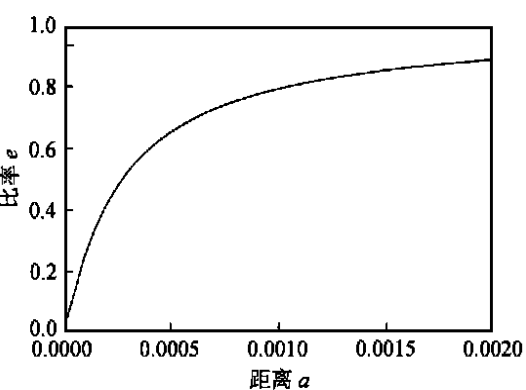


图 3 函数  $e(V_0 = 10^8, a, b, c)$ 随 a 趋于 0 而趋于 0 其中  $a+b+c=1, b=10^{-4}$ 

指出, 曲线 2, 3, 4 分别相当于曲线 1 在横轴上拉长了 10 倍, 100 倍, 1 000 倍. 所以当 a 较小时,  $e(\lambda, a)$ 对任意的 t > 0, 在标度变换  $(\lambda, a) \rightarrow (\lambda/t, at)$  下是近似不变的. 这说明了  $\lambda = a$  有反比关系.

## 3 物理解释

Casimir 力的实验检验是在真空容器中进行. 由于低频电磁波对于一般的介质有一定的透射深度,除了考虑势垒所带来的影响外,还应考虑真空容器的尺度对实验的影响.按照量子场论的观点, Casimir 力与空间的几何结构有关.对于理想导体,两平板间的空间与外部是隔离的,Casimir 力显然只由两板间距 a 决定.对于非理想导体,两平板间的内部与外部是连通的,Casimir 力除与两板间距 a 相关外,显然还与容器的几何结构有关.

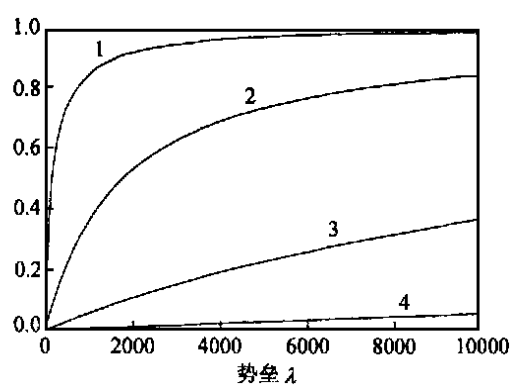


图 4 函数  $e(\lambda, a)$  随  $\lambda$  趋于无穷大而趋于 1 其中 a+c=1, 曲线 1, 2 3 和 4中的 a 分别为 0.01, 0.000 1, 0.000 01

在(2)式中,当  $V_0$  很大,  $a+b+c \gg a$ , b 趋于 0 时(近似于  $\delta$ 势垒). 在空间 0 < x < a 内, 总能量  $E_a \approx \frac{1}{2} \sum_n \frac{n\pi}{a}$ , 在空间 a+b < x < a+b+c 内, 总能量  $E_c \approx \frac{1}{2} \sum_n \frac{n\pi}{c}$ , 全空间的总能量为  $E=E_a+E_c$ . 当 a 减小为  $a-\Delta a$  时, 空间 0 < x < a 内每一模式  $n\pi/a$  增为  $n\pi/(a-\Delta a)$ ,  $E_{a-\Delta a} \approx E_a (1+\Delta a/a)$ , 同理, 空间 a+b < x < a+b+c 内每一模式  $n\pi/c$  减为  $n\pi/(c-\Delta a)$ ,  $E_{c+\Delta a} \approx E_c (1-\Delta a/c)$ . 由于空间 a+b < x < a+b+c 内态密度是空间 0 < x < a 的 c/a 倍,

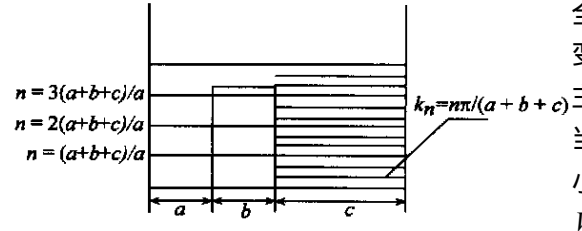


图 5 从全空间来看,所有模式均在 m / (a+b+c) 附近

其中 n 为(a+b+c)/a 的整数倍的模式与非整数倍的模式 之间的非平衡关系形成了 Casimir 力. 当 a 迅速减小时,为 (a+b+c)/a 的整数倍的模式迅速上升到势垒高度以上,要想使 e 保持不变,则当 a 减小到原来的 V 10 时,  $V_0$  需增高为原来的 V 10 倍

全空间的总能量随 a 的改变将大致上维持不变. 事实上,对于任意给定的有限热垒  $V_0$ ,它主要是对于低频模式有明显影响. 计算表明当 a 减小时,全空间的总能量将随之少量减小,显示出平板间的吸引力,即 Casimir 力. 当  $V_0$  不变时,随着 a 的继续减小,函数  $e(V_0,a,b,c)$  为 $e(V_0,a,b,c)$  为 $e(V_0,a,b,c)$  之主要是因为随着  $e(V_0,a,b,c)$  的,  $e(V_0,a,b,c)$  之主要是因为随着  $e(V_0,a,b,c)$  为 $e(V_0,a$ 

由于受实验容器尺度的影响,当导体和介质板靠得很近时,Casimir 力将由  $1/a^2$  变为 1/a 形式. 对于三维情况也应有类似的结论.

致谢 感谢葛墨林教授的鼓励与帮助,并感谢与刘辽教授进行的有益讨论.

### 参 考 文 献

- 2 Lifshitz E.M. Theory of molecular attracting force between solid bodies. Sov Phys JETP, 1956, 2; 73
- 3 Schwinger J, De RaaD L L, Milton K A. Casimir effect in dielectrics. Ann Phys, 1978, 115; 1 ~ 22
- 4 Most epanenko V M. Trunov N N. Casimir effect and its applications. Sov Phys Usp, 1988, 31, 965 ~ 987
- 5 Most epanenko V M. Trunov N N. Quantum field theory of the Casimir effect for real media. Sov J Nucl Phys. 1985, 42(5): 818 ~ 822
- 6 郑泰玉. 内部费米子单圈图对 Casimir 力的贡献. 高能物理与核物理, 1990, 14: 796~801
- 7 郑泰玉. 有限温度下的 Casimir 效应. 高能物理与核物理, 1995, 19: 241~244
- 8 倪光炯, 张 敏, 宫家文. Casimir 效应的一种严格计算方法. 高能物理与核物理, 1991, 15: 695~700
- 9 Lamoreaux S.K. Demonstration of the Casimir force in the 0.6 to 6 \( \mu \) m range. Phys Rev Lett, 1997, 78: 5 ~ 8
- 10 Kupiszewska D. Mostowski J. Casimir effect for dielectric plates. Phys Rev A. 1990 41: 4 636~4 644
- 11 Kupiszewska D. Casimir effect in absorbing media. Phys Rev A, 1992, 46; 2 286~2 294
- 12 Lambrecht A, Jaekel MT, Reynaud S. The casimir force for passive mirrors. Phys Lett A, 1997, 225; 188 ~ 194